

Foto 11.— (TD-680).—

Distinto comportamiento mecánico de cuarzo y micas frente a deformaciones tardías.
Nicoles cruzados, 50 aumentos (AH1-19)

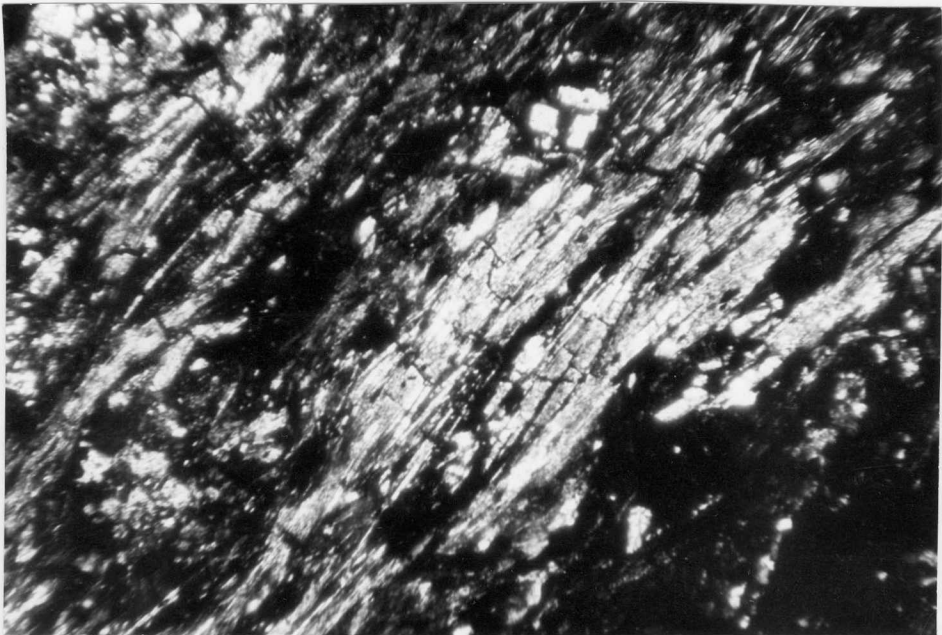


Foto 12.- (TD-232).- Esquisto con sillimanita primática. Nicosles cruzados, 50 aumentos (AH1-30)

Foto 13.-(TD-319).-

Esquisto con andalucita. Nícole cruzados, 50 aumentos (AH1-28)

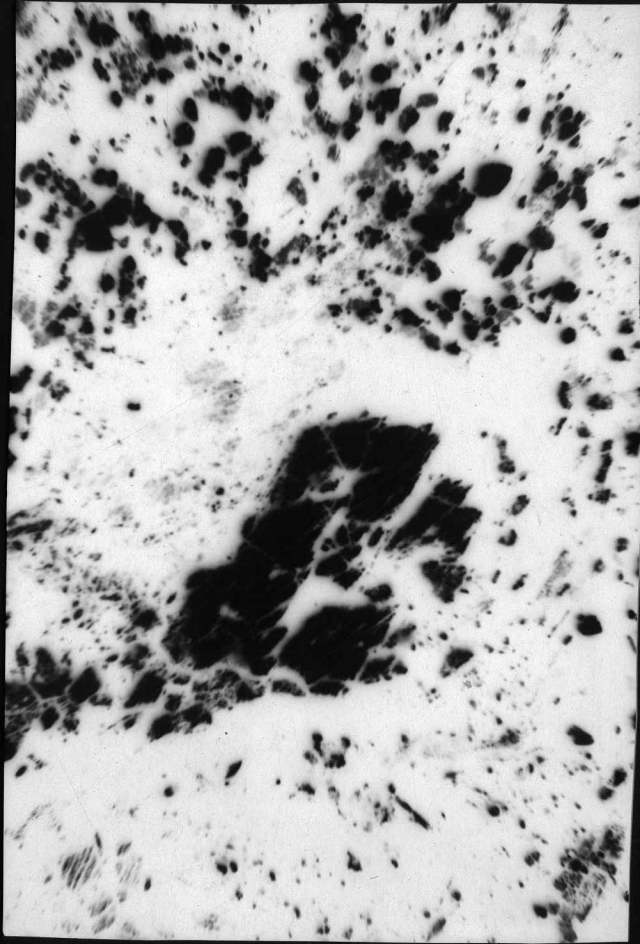




Foto 14.— (TD-292).— Estaurolita y turmalina en esquisto mi-
cáceo. Nicoles cruzados, 50 aumentos
(AH1-23)



Foto 15.- (AH-1007).- Granito de dos micas de Penagaitero
(Seijo) (B4 Hc-16)



Foto 16.— (AH-1001).— Arcillas, arenas arcósicas y cantos silíceos del Terciario de Cota (Oeste de Lugo) (B4-HC-6)



Foto 17.- (AH-1002).- Granito de dos micas del macizo de Hombrizo (B4-Hc-8)



Foto 18.— (AH-1007).— Granito de dos micas débilmente deformado de Penagaitero (Seijo) (B4 Hc-14)

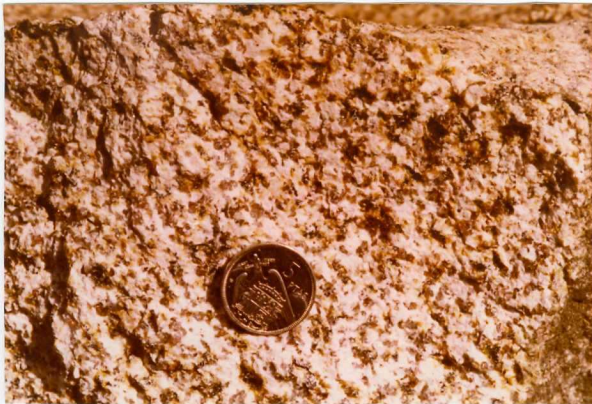


Foto 19.- (AH-1005).- Facies de borde de la granodiorita precoz del macizo de Santa Eulalia de Pena. Pena do Posco (B4 Hc-34)

Foto 20.– (AH-1004).— Granito deformado de dos micas de Donalbay
(B4 Hc-32)





Foto 21.— (GL-1001).— Juntas de granodiorita tardía, facies de borde, cicatrizadas por microgranitos y granitos de dos micas CN 640 P.K 77.500 (5 GL-2)



Foto 22.- (GL-1001).- Disyunción en bolas de la granodiorita tardía en su facies de borde CN 640
PK 77.500 (5 GL-4)



Foto 23.- (GL-1002).- En el contacto de la granodiorita tardía y la serie de Villalba, esta es englobada por la primera en la zona de borde
CN 640 PK 77 (5 GL-1)

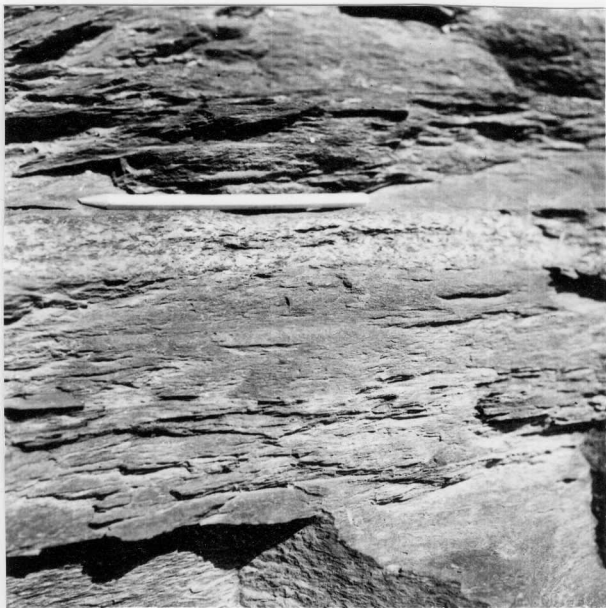


Foto 24.— (GL 1003).— Serie de Villalba con S_1 subhorizontal y con niveles de neises anfibólicos abandonados.



Foto 25.— (GL-1003).— Serie de Villalba con S_1 subhorizontal y con niveles de neises anfibólicos abandonados.



Foto 26.- (GL-1004).- Neises glandulares de grano grueso, formación Ollo de Sapo. Carregal (Friol) (4 GL-6)



Foto 27.— (GL-1005).— Formación Ollo de Sapo de grano grueso donde se observa la matriz pelítica y las glándulas de fel-despato dobladas por una fase tardía. Carregal (Friol). (4 GL-9)